

USB 방식을 적용한 MIN 기반 교환기 구조의 모델링 및 성능평가

홍유지*, 추현승*, 윤희용*

*성균관대학교 전기전자 및 컴퓨터공학부

e-mail : {uzlove, choo, youn}@ece.skku.ac.kr

Modeling and Performance Evaluation of Multistage Interconnection Networks with USB Scheme

Yujee Hong*, Hyunseung Choo*, Hee Yong Youn*

*Sungkyunkwan University School of Electrical and Computer Engineering

요약

다단계 상호연결 네트워크 (multistage interconnection network : MIN) 동작 연구에 있어서 가장 중요한 것 중의 하나가 네트워크 사이클의 운영 방법이라 할 수 있다. 일반적인 MIN 기반 교환기 구조에서 최악의 경우는 수신 버퍼 모듈이 비어있어서 셀이 가장 앞쪽의 버퍼 위치로 움직여야만 하는 상황에서 발생한다. 그러나 실제적으로는 입력 로드의 실질적인 크기에 대해서 대부분의 버퍼 모듈들은 거의 항상 꽉 차게 된다. 그렇기 때문에 일반적인 체계의 긴 네트워크 사이클은 대역폭의 낭비를 가져오게 된다. 본 논문에서는 이런 문제점을 수정하여 고안한 단위 단계 버퍼링 체계를 사용하여 입력 버퍼에 관한 분석 모델을 제안하였다. 이 제안된 체계는 매개변수의 수와 상태전이 다이어그램에 있어서 기존의 모델링 기법들보다 매우 단순하다. 제안된 모델과 시뮬레이션의 처리율 및 지연시간의 비교를 통해서 제안된 모델의 정확성을 검증하였다.

1. 서론

다단계 상호연결 네트워크 (multistage interconnection network: MIN)는 지난 몇 년 동안 텔레커뮤니케이션과 병렬 컴퓨터 시스템[1]과 같은 분야에서 중요한 응용으로 이용되었다. MIN은 ATM 스위치를 포함한 다양한 네트워크 스위치나 라우터의 교환구조이고, 또한 병렬 컴퓨터내부에 상호 연결망을 구성하는데 널리 사용되었다. ATM[2]은 셀(cell)이라고 불리는 짧고 고정된 크기(53 바이트)의 패킷을 가지고 있는 고속의 패킷 스위칭 기술이고, 종합 정보 통신망에 매우 효과적이며, 또한 화상 통신과 그래픽 관련 응용들을 위한 광대역 서비스들을 지원하는 통신방식이다.

MIN의 동작 연구에 있어서 가장 중요한 것 중의 하나가 네트워크 사이클의 운영 방법이라 할 수 있다. 일반적인 MIN에서 수신 버퍼 모듈이 비어있어서 셀이 가장 앞쪽의 버퍼 위치로 움직여야만 하는 상황의 발생이 최악의 경우라 할 수 있다. 결과적으로 네트워크 사이클은 임의의 상태로의 완전한 셀 이동을 보장할 정도로 충분히 길어야만 한다. 그러나 실제로는 입력 로드의 실질적인 크기에 대해서 대부분의 버퍼 모듈들은 거의 항상 꽉 차게 된다. 그렇기 때문에 일반적인 체계의 긴 네트워크 사이클은 대역폭의

낭비를 가져오게 된다[3]. 그러나 더욱 짧은 네트워크 사이클 동안에 각 셀이 하나의 단위 버퍼 위치로만 움직이게 하여 네트워크 사이클의 대역폭을 보다 효율적으로 사용하는 단위 단계 버퍼링(Unit Step Buffering: USB)체계는 [4]에서 소개되었다.

일반적인 모델과 비교한 단위 단계 버퍼링 체계의 성능은 ATM 스위칭 환경의 보편적인 트래픽 부하 상에서 실제 크기의 MIN에서 상당히 개선되었을 뿐만 아니라 큰 패킷 크기를 가지는 일반적인 병렬 컴퓨터 시스템에서도 더욱 크게 개선되었다. 하지만 단위 단계 버퍼링 체계의 모델링 방법이 매우 복잡하기에 다른 유사한 처리율과 지연시간에서 정확하지 못한 결과를 나타내었다.

본 논문에서는 이런 기존의 문제점을 수정하여 기존에 연구된 네트워크 사이클에서 단위 단계 버퍼링 체계의 접근 방식을 따르는 입력 버퍼에 관한 분석 모델을 제안하였다. 이 제안된 모델은 매개변수의 수와 상태 전이 다이어그램이 기존의 모델링 기법들보다 매우 단순하여 계산상의 오버헤드를 줄였을 뿐만 아니라 이런 단순함에도 불구하고 분석 결과가 시뮬레이션을 통해 얻은 처리율과 지연 시간에 있어서 상당히 유사한 결과를 보여주었다.

본 논문은 다음과 같이 구성되어 있다. 2 장에서는 논문에서 제안된 모델과 관련된 내용을 살펴보고, 3 장에서는 제안된 분석모델을 설명한다. 4 장에서는 제안된 분석 모델과 시뮬레이션에 대한 결과를 살펴보며, 5 장에서는 본 논문에 대한 결론을 내린다.

2. 관련연구 및 배경설명

이 절에서는 기존에 연구된 네트워크 사이클 운영방법과 단위 단계 버퍼링 체계에 대해서 살펴보도록 한다. MIN의 스위칭 요소(SE) 내부에 위치하고 있는 버퍼는 MIN의 성능을 현저히 향상시키며, 기존에 연구된 네트워크 사이클의 패킷 이동은 마지막 스테이지로부터 처음 스테이지로 필요한 요소들을 재귀적으로 계산된 전체 스테이지의 버퍼 가용성 정보를 이용하여 이동한다. 이런 MIN 내의 버퍼에서 패킷이 블록되는 경우는 다음 스테이지에 있는 패킷의 목적지 버퍼에 가용한 공간이 없거나, 블록킹 스위치의 특성에 의해 경쟁관계에 있는 버퍼에 있는 패킷과 출력에 대한 경쟁에서 지는 경우이다. 일단 한번 블록된 패킷은 원래 목적지를 다음 네트워크 사이클에서도 그대로 향하려고 하는 기억 특성이 있기 때문에 MIN의 모델링을 정확히 하는데 어려움이 있다[5].

일반적인 MIN에 존재하는 버퍼에서의 셀은 한번의 네트워크 사이클 동안 다음 단계의 SE로 전진하기 때문에 수신 버퍼 모듈의 꼬리에 위치하게 된다. 여기서 '꼬리(tail)'란 버퍼 모듈에서의 마지막 엔트리를 지칭하는 반면 '끝(end)'은 물리적으로 마지막 버퍼 엔트리를 나타내는 것으로 꼬리는 버퍼 모듈 안에 존재하는 셀들의 수에 따라 변화하지만 끝은 그렇지 않다. 일반적인 MIN의 수신 버퍼 모듈이 비어있어서 셀이 가장 앞쪽의 버퍼 위치로 움직여야만 하는 최악의 상황이 발생한다. 결과적으로 네트워크 사이클은 임의의 상태로의 완전한 셀 이동을 보장할 정도로 충분히 길어야 하지만 실제적으로는 입력 로드의 실질적인 크기에 대해서 대부분의 버퍼 모듈은 거의 항상 꽉 차게 되기 때문에 일반적인 체계에서의 긴 네트워크 사이클은 대역폭의 낭비를 가져오게 된다. 하지만 단위 단계 버퍼링 체계에서는 더욱 짧은 네트워크 사이클 동안에 각 셀이 하나의 단위 버퍼 위치로만 움직이게 되어 네트워크 사이클의 대역폭이 완전하게 사용되기 때문에 대역폭의 낭비를 줄일 수 있게 된다. [4].

3. USB 방식에서 입력 버퍼 분석 모델

이 절에서는 기존에 연구된 네트워크 사이클에서 단위 단계 버퍼링 체계를 기반으로 하는 유한개의 입력 버퍼를 가진 기존의 모델[4]보다 간단한 모델링 방법을 사용하면서도 정확한 성능을 나타내는 MIN의 성능 분석을 위한 모델을 제시한다.

3.1 정의와 가정

우선 제안된 분석 모델에서 입력 트래픽 로드는 균등하게 분산되었으며 사용되는 정의는 다음과 같다.

• m : 버퍼 모듈에 있는 버퍼의 개수

• n : MIN에 존재하는 스테이지의 개수

• Q_i : 스위치 내에서 스테이지 i 번째 버퍼 모듈

• $E_i(t)$: 시간 t 에서 $t+1$ 동안에, $i-1$ 번째 스테이지에 있는 SE로부터 Q_i 로 들어오려는 패킷이 존재하는 확률

• $B_i(t)$: 시간 t 에서 $t+1$ 동안에, Q_i 에 있는 패킷이 블록되는 확률. (편의상 $E_i(t)$ 는 E 로, $B_i(t)$ 는 B 로 나타낸다)

• $P_i(l, t)$: 시간 t 에서 $t+1$ 동안, Q_i 의 버퍼 모듈에서 버퍼 모듈에 l 개의 패킷이 있는 확률, 여기서 $0 \leq l \leq M$

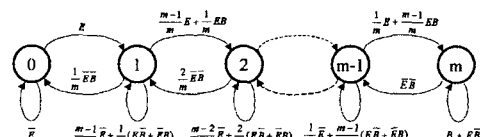
• $P_{i, \text{blocked}}(t)$: 시간 t 에서 $t+1$ 동안, Q_i 의 버퍼 모듈에서 버퍼 모듈의 서버가 블록 상태에 있는 안정 상태의 확률

• $P_{i, \text{leave}}(t)$: 시간 t 에서 $t+1$ 동안에, Q_i 의 버퍼 모듈에서 떠나려하는 패킷이 있는 확률

3.2 버퍼의 상태와 상태식

각각의 매개변수 사이의 관계는 그림 2에 나타내었으며, 버퍼 모듈 Q_i 에 대한 마르코프 체인(Markov Chain)은 그림 3에 나타내었다. 다음의 그림 3은 각 패킷의 개수에 따른 각 상태에서 E 와 B 에 의해 전이되는 특징이 있다. Stage i 에서는 버퍼 모듈에 i 개의 셀들이 있는 것을 나타낸다. 예를 들어 stage-1로부터 stage-2로 상태가 전이한다고 할 때, 현재 상태가 stage-1이라고 가정하자. stage-2로 전이하기 위해서는 버퍼 모듈의 하나의 셀이 프론트 셀($1/m$)이면서 현재 네트워크 사이클에서 블록 되어야만 하며, 하나의 셀($(m-1)/m$)이 들어와야만 한다. 그러므로 stage-1으로부터 stage-2로 전이되는 확률은 $\frac{m-1}{m}E + \frac{1}{m}EB$ 이 된다.

여기에서 프론트 셀은 프론트 버퍼에 존재하는 셀을 나타내는 것으로 상태 방정식은 마르코프 체인에 의해 쉽게 나타낼 수 있다.



(그림 2) 버퍼 모듈 Q_i 의 상태 전이에 따른 마르코프 체인

위의 상태도에서 각 상태의 상태식은 다음과 같다.

$$P_i(0, t+1) = \bar{E} \cdot P_i(0, t) + \frac{1}{m} \cdot \bar{E} \cdot \bar{B} \cdot P_i(1, t)$$

$$P_i(1, t+1) = EP_i(0, t) + \left\{ \frac{1}{m}(\bar{E}B + E\bar{B}) + \frac{m-1}{m}\bar{E} \right\} P_i(1, t) + \frac{2}{m}E\bar{B}P_i(2, t)$$

$$P_i(k, t+1) = \left\{ \frac{m-k+1}{m}\bar{E} + \frac{k-1}{m}EB \right\} P_i(k-1, t) + \left\{ \frac{k}{m}(\bar{E}B + E\bar{B}) + \frac{m-k}{m}\bar{E} \right\} P_i(k, t) + \frac{k+1}{m}E\bar{B}P_i(k+1, t) \quad (2 \leq k \leq m-2)$$

$$P_i(m-1, t+1) = \left\{ \frac{2}{m}E + \frac{m-2}{m}EB \right\} P_i(m-2, t) + \left\{ \frac{m-1}{m}(\bar{E}B + E\bar{B}) + \frac{1}{m}\bar{E} \right\} P_i(m-1, t) + E\bar{B}P_i(m, t)$$

$$P_i(m, t+1) = \left\{ \frac{1}{m}E + \frac{m-1}{m}EB \right\} P_i(m-1, t) + (B + E\bar{B}) \cdot P_i(m, t)$$

3.3 성능측정

MIN의 성능을 평가하기 위해서 정규화 된 처리율과 셀당 평균 지연이라는 두 가지 측정 요소가 사용된다. 정규화 된 처리율은 한 네트워크 사이클동안에 출구

당 네트워크에서 나가는 셀들의 평균 개수이며, 평균 지연은 셀 당 네트워크에서 보낸 총 시간이다. 먼저 이들 측정에 관한 절차는 다음과 같다.

3.3.1 계산순서

(1) $t=0$ 일때, 첫번째 스테이지에서의 E 는 입력 로드로 초기화되며 각 베퍼 모듈의 $P_i(0,t)$ 는 1로 초기화 된다. 다른 모든 변수들은 0으로 초기화 된다.

(2) $t=t+1$

(3) 각 베퍼 모듈에서

- $P_i^{blocked}(t)$ 와 $P_i^{leave}(t)$ 를 계산한다.

- $E_i(t)$ 와 $B_i(t)$ 를 계산한다.

- $P_i(l,t)$ ($0 \leq l \leq M$) 를 상태식을 이용하여 구한다.

(4) 처리율 T 와 지연시간 D 를 계산한다. 시간 t 에서 얻은 T 와 D 값과, 시간 $t+1$ 에서 계산된 T 와 D 값의 차이가 각각 10^{-6} 보다 작은지를 비교하여 그러하면 종료하고, 그렇지 않으면 다시 2 번 단계로 돌아간다. T 와 D 의 닫힌 형태의 계산식은 네트워크와 패킷 이동 구조의 복잡성으로 인해 계산하기가 매우 복잡하다. 그러므로 일반적으로 이들은 시스템이 안정화 상태에 도달할 때까지 반복적으로 계산함으로써 얻는다.

3.4 분석

셀이 블록될 때마다, 블록된 셀은 같은 출력 포트로 가려고 하는 기억 특성을 유지하며 정확한 MIN 모델링은 이런 기억 특성에 의해 매우 복잡하였다. 기억 특성을 고려한 근사화 모델은 다음과 같다. 먼저 베퍼 모듈의 서버가 안정상태에서 블록 상태에 있는 확률을 근사화 방법으로 구한 $P_i^{blocked}(t)$ 가 설명된다.

$$P_i^{blocked}(t) = B_i(t-1) \times B_i(t-2)$$

위의 식은 패킷이 이전 네트워크 사이클동안에 한번 이상 연속적으로 블록되었다면 그 패킷은 다음 네트워크 사이클에 다시 블록되는 확률이 상대적으로 높기 때문에, 이런 연속적인 블록킹 확률을 안정상태에서 서버의 지속적인 블록킹 확률로 근사화시켜서 나타내었다. 이러한 연속적인 블록킹의 경우는 대부분의 목적지 베퍼 모듈이 차있거나, 패킷이 경쟁에서 연속적으로 지는 경우에 발생한다. 전자의 경우는 현실적인 입력 트래픽 상황에서 베퍼 모듈들은 거의 차있다는 사실에 기반하며, 후자의 경우는 대부분의 베퍼 모듈이 차 있지 않은 상황에서는 거의 발생하지 않는다는 컴퓨터 시뮬레이션 분석 결과[5]에 의거해서 고려하지 않는다.

$P_i^{blocked}(t)$ 값을 이용해서 기억 특성으로 발생하는 잊은 블록킹 상황을 근사적으로 모델링 할 수 있다. 일반적으로 기존의 방법에서는 안정화 상태의 확률 값을 얻는 것은 매우 어렵지만, 제안된 모델에서의 근사화 안정 상태 확률은 위의 식과 같이 매우 간단하다. 다음은 베퍼 모듈을 떠나려는 패킷이 존재하는 확률은 다음과 같다.

$$P_i^{leave}(t) = \overline{P_i^{blocked}(t)} \times \sum_{k=1}^m \frac{k}{m} P_i(k,t)$$

만약 베퍼 모듈 $P_i(k,t)$ 에 k 개의 셀들이 있다면, 그것

들 중에서 하나는 프론트 셀(k/m)이고 베퍼 모듈에서의 서버는 블록되지 않은 상태($\overline{P_i^{blocked}(t)}$)이면 셀은 베퍼 모듈을 떠날 수 있게 된다. 그러므로 $P_i^{leave}(t)$ 는 위에서와 같이 나타낼 수 있게 된다. 여기에서 구한 $P_i^{leave}(t)$ 을 통해서 E 와 B 를 쉽게 구할 수 있다.

$$E_i(t) = P_{i-1}^{leave}(t) - 0.25 \cdot P_{i-1}^{leave}(t)^2$$

$E_i(t)$ 는 Stage-($i-1$)에서의 셀들이 시간 t 에서 베퍼 모듈 Ω 로 들어갈 준비가 되어있을 확률을 나타낸다. 이런 경우에, 이전 단계에서 두개의 셀들은 $0.5(2 \times 0.5 \times P_{i-1}^{leave}(t) = P_{i-1}^{leave}(t))$ 의 확률을 가지고 Ω 로 들어갈 수 있다. 그러나 동시에($0.25 \cdot P_{i-1}^{leave}(t)^2$) Ω 로 들어갈 수는 없다. 따라서 위에서와 같이 $E_i(t)$ 는 나타낼 수 있다. 그러면 마지막으로 블록되는 확률 $B_i(t)$ 은 다음과 같다.

$$B_i(t) = P_i^{blocked}(t) + \overline{P_i^{blocked}(t)} \times \left[P_{i+1}(m,t) \cdot B_{i+1}(t) + \overline{P_{i+1}(m,t)} \cdot 0.25 \cdot P_{i-1}^{leave}(t) \right]$$

만약 Ω 에서의 서버가 블록된 상태($P_i^{blocked}(t)$)이면 Ω 에서의 셀들도 역시 블록된다. 또한 Ω 에서의 서버가 블록되지 않은 상태($\overline{P_i^{blocked}(t)}$)이면, Ω 에서의 셀들은 목적지 베퍼 모듈이 꽉찬 상태($P_{i+1}(m,t)$)이면서 블록되어 있는 상태이거나 목적지 베퍼 모듈이 꽉차지 않았을 경우($\overline{P_{i+1}(m,t)}$)는 경쟁에서 졌을 경우($0.25 \cdot P_{i-1}^{leave}(t)$)에 블록된다.

정규화된 MIN 의 처리율은 MIN 이 정상 상태에 있을 때, 네트워크 사이클을 당 네트워크에서 나가는 셀들의 수로 정의되는 것으로 아래의 식과 같이 마지막 스테이지에서 패킷이 전송되어지는 확률로서 정의된다. 따라서 다음의 식은 SE 의 위쪽 포트의 경우를 나타내며 아래쪽 포트의 경우는 r 대신 (1-r)을 사용한다.

$$T_n(t) = P_n^{leave}(t) - 0.25 \cdot P_n^{leave}(t)^2$$

평균 지연 시간은 셀당 네트워크에서 보낸 총 시간의 평균으로서 정의된다. 제안된 체계에서 베퍼 모듈의 작동 구조는 전통적인 FIFO 체계가 아니기 때문에 직접 Little 의 공식을 적용할 수 없다[6].

셀이 앞으로 한 위치를 전진하는데 필요한 시간인 $D_s(n_c)$ 를 정의함으로서, 베퍼 모듈에서의 지연을 얻는다. D_s 는 명백히 베퍼에 있는 셀의 수인 n_c 의 함수이다. 지연은 베퍼에 있는 셀의 수에 선형적으로 의존적이지 않음을 나타냄에 주의하라. 이는 숫자가 작을수록, head of the line blocking 에 의한 지연의 기회가 줄어들기 때문이다. 그러므로, 우리는 양의 기울기를 가진 2 차 함수 $D_s(n_c) = an_c^2 + 1$ 를 가정하자. 위의 사실과 두개의 조건 상태($D_s(0)=1$, $D_s(m)=\frac{1}{B}$)를 사용해서 $D_s(n_c)$ 를 다음과 같이 나타낼 수 있다.

$$D_s(n_c) = \left(\frac{1}{B} - 1 \right) \frac{1}{m^2} n_c^2 + 1$$

i 번째 스테이지에서의 지연 시간은 다음과 같이 나타낼 수 있다.

$$D(t) = \lim_{t \rightarrow \infty} \left\{ (m-1) D_s(N_i) + \frac{1}{B} \right\}$$

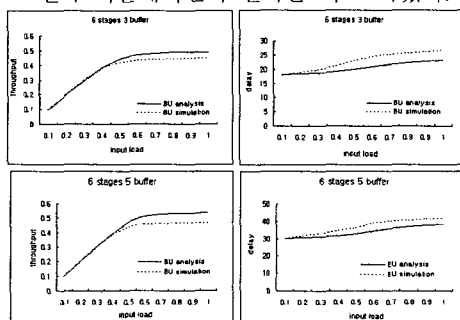
여기서 N_i 는 $N_i = \sum_{k=1}^m k P_k(i)$ 로 나타낸 i 번째 스테이지 버퍼 모듈에서 셀의 평균 수이다. 위의 식에서, 첫번째 식은 버퍼의 끝에서 프론트 버퍼에 도달하기 위해 새롭게 출발하는 셀에 대한 지연 시간인 반면, 두번째 식은 프론트 셀이 i 번째 스테이지의 버퍼를 떠나는데 따른 시간을 나타낸다. 마지막으로, 전체 네트워크를 통해서 움직이기 위한 평균 지연 시간 (Delay)은 다음과 같다.

$$\text{Delay} = \sum_{i=1}^n D(i)$$

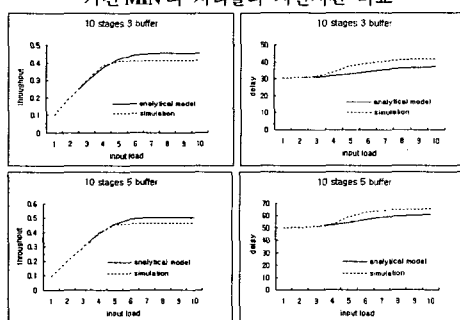
다음에서는 기존에 연구된 네트워크 사이클에서 단위 단계 버퍼링 체계 방식을 따르는 입력 버퍼에 관한 분석 모델과 컴퓨터 시뮬레이션을 사용해서 제안된 모델의 성능을 평가한다.

4. 성능평가

이 절에서 높은 성능의 MIN 스위칭을 위해 제안된 모델이 평가된다. 제안된 모델과 시뮬레이션의 처리율 및 지연시간의 비교를 통해서 제안된 모델의 정확성을 검증하였다. 시뮬레이션에서 각 입력모듈은 네트워크 사이클마다 패킷을 입력 트래픽 로드의 비율로 생성하며, 각 패킷의 목적지는 랜덤하게 설정된다. 만약 SE 안에서 셀들간에 경쟁이 있다면 경쟁에 참여하는 각 패킷이 이길 확률은 같으며 경쟁은 랜덤하게 수행된다. 아래의 그림 3~4는 트래픽 부하가 0.1에서 1까지 변화하며 제공될 때 3 개와 5 개의 버퍼를 가진 6 단계와 10 단계 MIN 의 처리율과 지연 시간을 제안된 분석 모델과 시뮬레이션의 결과를 비교하였다.



(그림 3) 균등 트래픽에서 6 스테이지 3 버퍼와 5 버퍼를 가진 MIN 의 처리율과 지연시간 비교



(그림 4) 균등 트래픽에서 10 스테이지 3 버퍼와 5 버퍼를 가진 MIN 의 처리율과 지연시간 비교

위의 그림 3~4을 살펴보면 제안된 모델의 처리율은 시뮬레이션 결과보다 약간 큰 값에서, 지연시간은 작은 값으로 일정하게 수렴됨을 알 수 있다. 이 제안된 체계는 매개변수의 수와 상태 전이 다이어그램이 이전의 것보다 매우 단순하다. 이런 단순함에도 불구하고, 제안된 모델의 분석 결과는 시뮬레이션을 통해 얻은 처리율과 지연 시간은 상당히 유사한 결과를 보여준다. 또한 단계와 버퍼의 수가 증가할수록 더욱더 시뮬레이션 결과에 유사한 것으로 나타났다.

위에서 살펴보았듯이 제안된 모델은 일반적인 체계보다는 네트워크 사이클을 효율적으로 사용하면서 보다 단순한 구조이면서 정확한 값을 가지는 결과를 나타내는 것을 입증해 보였다. 더욱이 어떤 하드웨어나 동작의 오버헤드 없이 고안된 체계의 모델링 및 그 정확성은 더욱 큰 의미를 지닌다고 할 수 있다.

5. 결론

본 논문에서는 기존에 연구된 네트워크 사이클에서 단위 단계 버퍼링 체계의 접근방식을 따르는 입력 버퍼에 관한 분석 모델을 제안하였다. 기존에 연구된 네트워크 사이클의 경우는 셀이 가장 앞쪽의 버퍼 위치로 이동해야만 하기 때문에 네트워크 사이클이 셀 이동을 보장할 정도로 충분히 길어야 하는데 대부분의 버퍼 모듈은 거의 꽉 차게되어 대역폭의 낭비를 가져오게 되는 단점이 있다. 이런 단점을 보완한 단위 단계 버퍼링 체계를 이용할 뿐만 아니라 이전 모델의 방법이 매우 복잡하기에 다른 구조의 MIN에 적용하기가 어렵고 처리율과 지연시간에서 정밀하지 못한 결과를 나타낸 반면 이 제안된 모델은 매개변수의 수와 상태 전이 다이어그램이 이전의 것보다 매우 단순함에도 불구하고 분석의 결과가 시뮬레이션을 통해 얻은 처리율과 지연 시간에 있어서 상당히 유사함을 보여주었다.

참고문헌

- [1] C.L. Wu and T.Y. Feng, "On a class of Multistage Interconnection Networks," IEEE Trans. on Computers, Vol.C-29., pp.694-702., August 1980.
- [2] H. Rudin, "The ATM-Asynchronous Transfer Mode," Computer Networks and ISDN Systems Vol.24, 1992.
- [3] H.Y. Youn and C. Chevli, "A Local Blocking Scheme for Performance Enhancement of MINs" in 991 Int'l Symp. on Applied Computing, pp.273-282, April 1991.
- [4] H. Y. Youn and H. Choo, "Performance Enhancement of Multistage Interconnection Networks with Unit Step Buffering," IEEE Trans. on Commun. Vol. 47, No. 4, April 1999.
- [5] 최원제, 추현승, 문영성, "MIN 기반 교환기 구조를 분석하기 위한 간단한 근사화 방법 연구", 정보처리 학회 논문지, 1999.
- [6] T. Lin and L. Kleinrock, "Performance Analysis of Finite-Buffered Multistage Interconnection Networks with a General Traffic Pattern", ACM SIGMETRICS Conf. On Measurement and Modeling of Computer Systems, San Diego, CA, pp.68-78, May 21-24, 1991.